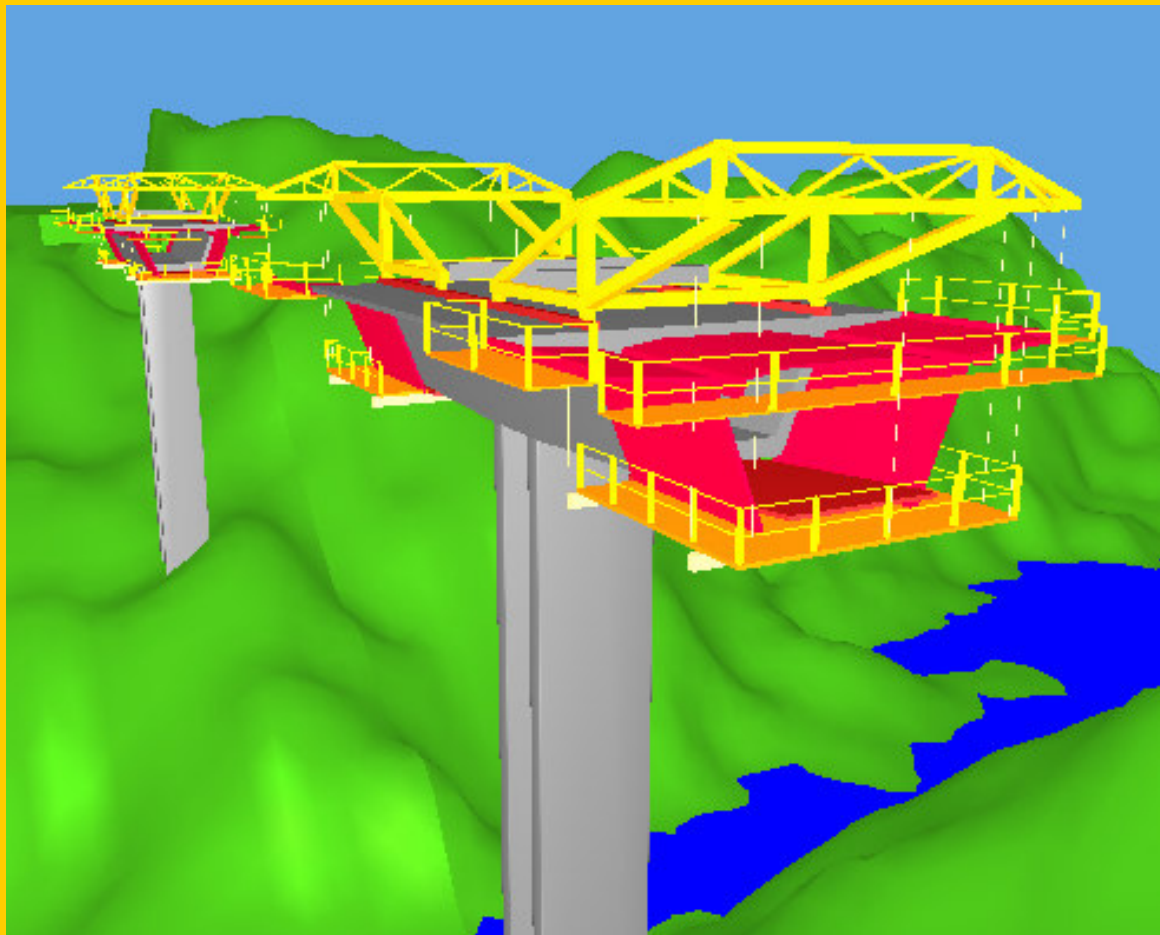
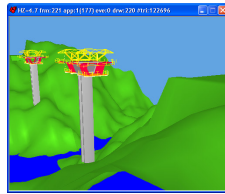


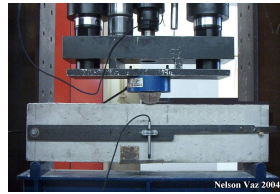
REVISTA INTERNACIONAL CONSTRULINK

Estruturas e Construção
Estructuras y Construcción

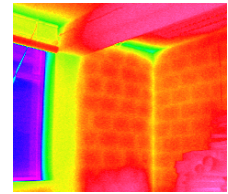




Pág. 10



Pág. 25



Pág. 33

Director:

Prof. Fernando Branco
fbranco@civil.ist.utl.pt

Coordenador editorial:

Prof. João Ferreira

Edição da revista:

Pedro Vaz Paulo
Jorge Nobre Sequeira

Edição de artigos:

João Ribeiro Correia

Publicidade:

Pedro Teixeira
pmrteixeiral@construlink.com

Publicado por :

Construlink.com-Tecnologias de Informação S.A.
R. Vilhena Barbosa, 4, 1-D
1000-285 Lisboa

Contactos:

Tel: +351 218 471 245
Fax: +351 218 488 481
E-mail: apoio@construlink.com
Website: www.construlink.com

CONSTRULINK PRESS:

- Revista Internacional Construlink (RIC)
(3 X Ano)
- Monografias

Assinatura:

Custo: 36 Euros / Ano
Grátis para autores de artigos publicados.
www.construlink.com

EDITORIAL

João Gomes Ferreira
Portugal

Pág. 3

SIMULAÇÃO VISUAL DE PROCESSOS CONSTRUTIVOS: DOIS MODELOS VIRTUAIS

Alcília Z. Sampaio, Pedro G. Henriques, Pedro S. Ferreira
Portugal

Pág. 4

A IMPORTÂNCIA DO TIPO E DOSAGEM DE ADJUVANTE NA COMPOSIÇÃO DE BETÕES DE ELEVADOS DESEMPENHOS

Eduardo Júlio, Paulo Fernandes
Portugal

Pág. 14

INFLUÊNCIA DA TEMPERATURA NO COMPORTAMENTO DE REFORÇOS EXTERIORES DE BETÃO ARMADO

Nelson L. F. Vaz, José L. B. Aguiar, Aires F. F. Camões
Portugal

Pág. 22

AVALIAÇÃO DO CONFORTO TÉRMICO DE REVESTIMENTOS DE PAVIMENTO ATRAVÉS DA TERMOGRAFIA DE INFRAVERMELHOS

Eva Barreira, Vasco P. de Freitas
Portugal

Pág. 30

FACHADAS PREDIAIS – CONSIDERAÇÕES SOBRE O PROJETO, OS MATERIAIS, A EXECUÇÃO, A UTILIZAÇÃO, A MANUTENÇÃO E A DETERIORAÇÃO

Regina Helena Souza, Ivan Ramalho de Almeida, Daniela Karina Verçosa
Brasil

Pág. 39

Capa: Simulação visual de Processos Construtivos (Sampaio et al)

CORPO CIENTÍFICO:**Argentina:**

Prof. Raúl Husni (Univ. Buenos Aires)
husni@arnet.com.ar

Brasil:

Eng A. Quallarini (UFRJ - Rio de Janeiro)
qualharini@all.com.br

Prof. Paulo Helene (PPC-EPUSP - S. Paulo)
helene@pcc.usp.br

Prof. Ubiraci Souza (POLI-USP - S. Paulo)
ubisouza@pcc.usp.br

Chile:

Prof. Alfredo Serpell (PUC - Santiago)
aserpell@ing.puc.cl

Prof. Ernesto Cruz (PUC - Santiago)
ecruz@ing.puc.cl

Colômbia:

Prof. Jairo Uribe Escamilla (Escuela
Colombiana de Ingeniería - Bogotá)
juribe@escuelaing.edu.co

Cuba:

Prof. J. Salvador (ISPJAE - Cuba)
rlourdes@civil.ispjae.edu.cuba

Espanha:

Prof. Enrique Mirambell (UPC - Barcelona)
enrique.mirambell@upc.es

Prof. Antonio R. Mari (UPC - Barcelona)
antonio.mari@upc.es

Prof. Antonio Aguado (UPC - Barcelona)
antonio.aguado@upc.es

Prof. Carmen Andrade (Instituto Eduardo
Torroja - Madrid)
andrade@ietcc.csic.es

México:

Prof. Pedro Castro (Centro de Investigación y
Estudios Avanzados del IPN - Mérida)
pcastro@mda.cinvestav.mx

Moçambique:

Engª. Alexandra Neves (UEM - Moçambique)
almapane@zebra.uem.mz

Paraguai:

Prof. Luis Alberto Lima (Facultad de Ingeniería
de la UNA - Asunción)
luislima@edan.edu.pv

Portugal:

Prof. Fernando Branco (IST - Lisboa)
fbranco@civil.ist.utl.pt

Prof. Júlio Appleton (IST - Lisboa)
cristina@civil.ist.utl.pt

Prof. António Reis (IST - Lisboa)
antonio.reis@grid.pt

Inv. José Catarino (LNEC - Lisboa)
jmcatarino@lnec.pt

Prof. A. Adão da Fonseca (FEUP - Porto)
adaodafonseca@afaconsultores.pt

Prof. Joaquim Figueiras (FEUP - Porto)
jafig@fe.up.pt

Prof. Victor Abrantes (FEUP - Porto)
va.consultores@mail.telepac.pt

Prof. António Tadeu (FCTUC - Coimbra)
tadeu@dec.uc.pt

**EDITORIAL**

A RIC – Revista Internacional Construlink (www.construlink.com) está a iniciar o seu terceiro ano de vida, em que têm sido publicados artigos em português e espanhol, divulgando a investigação nas áreas das Estruturas e Construção realizada no mundo ibero-americano e nos países africanos de língua portuguesa.

O ano de 2005 será especialmente consagrado à dinamização da revista, em particular no que respeita à sua consolidação nos referidos países, onde se tem afirmado de forma sustentada, nomeadamente através do reconhecimento de profissionais, investigadores, e entidades oficiais.

Neste sentido, gostaríamos de cada vez mais incentivar os investigadores do espaço ibero-americano na área de Estruturas e Construção a participar neste projecto editorial, nomeadamente através da submissão de artigos.

Para o presente número da revista foi recebido um grande número de contribuições para além dos artigos que são publicados, na maior parte dos casos apresentando grande qualidade técnica e científica. A todos os autores gostaríamos de apresentar o nosso reconhecimento, esperando poder divulgar em breve os seus valiosos contributos.

João Gomes Ferreira
Coordenador editorial da RIC
Instituto Superior Técnico
Lisboa, Portugal

INFLUÊNCIA DA TEMPERATURA NO COMPORTAMENTO DE REFORÇOS EXTERIORES DE BETÃO ARMADO

NELSON L. F. VAZ
ENG.º CIVIL
UNIVERSIDADE DO MINHO
GUIMARÃES, PORTUGAL

JOSÉ L. B. AGUIAR
PROF. ASSOCIADO
UNIVERSIDADE DO MINHO
GUIMARÃES, PORTUGAL

AIRES F. F. CAMÕES
PROF. AUXILIAR
UNIVERSIDADE DO MINHO
GUIMARÃES, PORTUGAL

RESUMO

O reforço de estruturas de betão armado por colagem de materiais compósitos no exterior, é uma das técnicas que tem vindo a adquirir grande potencial na resolução de problemas estruturais. Apesar das inúmeras vantagens destes sistemas, os materiais de origem polimérica aplicados podem ocasionar problemas face a exposições térmicas.

1. INTRODUÇÃO

Durante o período de vida útil para que as estruturas de betão armado são dimensionadas, elas devem apresentar níveis confortáveis de segurança, de funcionalidade e de durabilidade. No entanto inúmeras falhas, ao nível do projecto, da construção ou da utilização, podem pôr em risco algumas destas exigências.

A maior frequência de avarias conduziu ao aumento da severidade dos códigos e do leque de soluções de reparação e reforço. O mau estado dos nossos edifícios, pontes e viadutos é uma realidade que irá captar uma parcela cada vez maior do mercado da construção civil. Contudo não são apenas os erros que conduzem a esta necessidade. Em certas estruturas, pretende-se modificar a sua utilização e o reforço é fundamental para que ela desempenhe com eficácia a sua nova função.

Perante este cenário, tem-se vindo a assistir a um desenvolvimento de técnicas de reforço de aplicação simples e rápida e com um mínimo de interferência na arquitectura. Nestas exigências, enquadra-se perfeitamente o princípio, já com mais de 40 anos, da colagem de armaduras exteriores. A evolução aconteceu nos materiais usados sobretudo na passagem das chapas metálicas para materiais compósitos. Assim, a colagem de sistemas compósitos reforçados com fibras de carbono (CFRP), aparece como uma solução que se enquadra nos objectivos referidos e é um dos materiais novos e altamente promissores [1].

1.1 Durabilidade

A durabilidade pode ser entendida como a capacidade de um material ou componente resistir a mudanças nas suas propriedades, quando submetido a determinadas condições de exposição. O comportamento de um sistema de reforço de CFRP colado pelo exterior de uma estrutura de betão armado depende muito da acção da envolvente ambiental. Neste contexto, destacam-se os efeitos da temperatura e da humidade, além dos efeitos da radiação, de agressões químicas ou da erosão [2].

Nestes reforços, existem duas fracções poliméricas, a do FRP e a do adesivo. A temperatura que transforma o material polimérico numa massa macia designa-se por temperatura de transição vítrea (Tg) [3]. Após esta ser ultrapassada, as propriedades mecânicas do polímero, tal como a resistência, o módulo de elasticidade e, consequentemente, a rigidez e diminuem bruscamente. Além disso, esta temperatura (Tg) pode ser diminuída quando o polímero absorve humidade. Esta interacção com a humidade envolvente resulta ainda numa redução das outras propriedades mecânicas. Por esta razão, sugere-se que o limite superior da amplitude térmica esperada numa construção deve ser 10°C a 20°C inferior a Tg.

1.2 Aderência

As resinas sintéticas, são os materiais de colagem mais correntes nomeadamente as resinas epoxídicas. O sistema mais utilizado é o bicomposto, constituído por uma base e um endurecedor que devem ser misturados no momento da aplicação. Cada vez mais, as resinas epoxídicas não estão no seu estado puro, mas associadas a outros produtos para facilitar a aplicação ou ajustar as suas propriedades. Estes aditivos podem ser: plastificantes, solventes, aceleradores ou cargas minerais. Estes últimos originam argamassas epoxídicas que reduzem o custo do produto e contribuem com relevâncias técnicas sendo de destacar: a diminuição da retracção e do coeficiente de dilatação linear, o aumento da viscosidade, da duração da aplicação, das resistências mecânicas (salvo ao choque), da aderência quando o suporte está húmido e da resistência ao calor.

Os materiais adesivos assumem um papel importante no bom desempenho do reforço exterior [4]. Com a multiplicidade de materiais a que se pode recorrer, resultado de várias origens e composições, é concedida a oportunidade de adequar o melhor possível um tipo de adesivo a uma situação concreta.

1.3 Tratamento das superfícies

A eficaz transferência de tensões é fundamental para o bom aproveitamento do reforço [5] pelo que se deve conceder especial atenção às superfícies que vão ser unidas. O grau de aderência depende muito das propriedades do betão solicitado, ou seja, quanto menor for a sua resistência mais fraca será a aderência. Por esta razão, quando a camada solicitada for incapaz de suportar as acções transmitidas, é conveniente removê-

la e refazer a superfície com uma argamassa hidráulica ou com um produto de origem sintética. É favorável conferir alguma rugosidade quando ela não existe e efectuar uma limpeza profunda.

Os laminados de CFRP, após o seu armazenamento, contêm camadas indesejáveis de poeiras e gorduras que devem ser removidas. Se a superfície for protegida com um filme plástico é só removê-lo, caso contrário será aconselhável usar um produto de limpeza recomendado pelo fornecedor do sistema. Antes da aplicação do reforço deve-se proceder a uma última inspecção, controlando a temperatura e a humidade.

2. ENSAIOS

2.1 Degradações

Para se verificar a influência da temperatura nos reforços externos de elementos de betão armado, procurou-se cumprir um programa de ensaios laboratoriais que fornecesse resultados simples de retirar ilações comparativas. Numa primeira fase, após se decidir os materiais a aplicar, elaborou-se um programa de degradações para submeter várias vigas de betão armado.

Como a Tg da cola é de aproximadamente 63°C ficou claro que uma das temperaturas de exposição teria que ser próxima dessa. Igualmente importante seria ultrapassar significativamente a referida temperatura e estudar o comportamento no ambiente do laboratório de trabalho em que a temperatura normal ronda os 20°C. A decisão final das exposições térmicas, baseada em trabalhos anteriores [6] e numa norma europeia [7], conduziu às exposições indicadas na Tabela 1. Cada subgrupo (dois betões distintos cada qual com vigas reforçadas e sem reforço) de uma série de ensaios é composto por três provetes.

Tabela 1 - Exposições Térmicas

Exposição (°C)		Degradação	Tempo do ciclo (horas)	N.º de Ciclos
Máxima	Mínima			
20	20	T20	6+6	50
40	20	T40	6+6	50
60	20	T60	6+6	50
80	20	T80	6+6	50

2.2 Vigas de betão armado

Com o objectivo de fornecer mais resultados, optou-se por utilizar dois betões distintos para a produção das vigas: um designado por corrente (Corrente) e outro de elevado desempenho (BED). Por imposição da geometria da câmara de degradação, as vigas foram produzidas com as dimensões de 65x15x10 cm3.

A armadura convencional (Figura 1), igual nos dois tipos de vigas, foi produzida com varões longitudinais de 6 mm de diâmetro (A400) e estribos de 3 mm de diâmetro (A500). O betão corrente apresenta uma resistência média aos 28 dias de 30,0 MPa e o BED de 90,0 MPa.

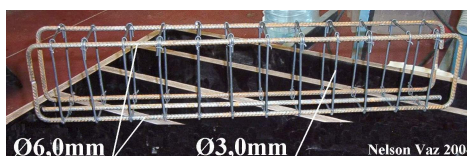


Figura 1: Armadura da Viga

O processo de cura compreendeu a manutenção dos provetes no local da betonagem durante 24 horas e posterior desmoldagem com conservação nos 20 dias seguintes num tanque de água aproximadamente à temperatura de 20°C. De seguida, secavam à temperatura ambiente para se proceder à colagem do reforço, aos 28 dias de idade total.

2.3 Aplicação do reforço

Passados 28 dias da betonagem as vigas estão prontas para receber o reforço. Para preparar a superfície da viga de betão, recorreu-se a um disco de diamante e um abrasivo, a jacto de ar e a uma escova macia. Recursos semelhantes permitem retirar a leitada de cimento, descofrante e poeiras, ao mesmo tempo que confere rugosidade à superfície extremamente lisa (Figura 2) das vigas. A face do laminado destinada a receber a cola, foi limpa imediatamente antes de se aplicar a cola, com o soluto de limpeza indicado pelo fornecedor.

A localização do reforço à flexão para as vigas está indicada na figura 3. A cola seleccionada foi uma argamassa epoxídica, que deve ser misturada na altura da aplicação na razão 3:1 (peso ou volume de base e endurecedor, respectivamente). Este adesivo tem como carga mineral um filler calcário.

A aplicação envolveu o espalhamento de cola nas duas superfícies, com especial cuidado no suporte, para preencher todos os poros. O posicionamento e compressão uniforme do laminado na viga não devem permitir a formação de vazios e ser tal que a espessura da lâmina de cola seja aproximadamente 1 mm. A secagem decorreu num ambiente com a temperatura de 20°C durante 7 dias, após os quais se pode iniciar a degradação.



Figura 2: Superfície do betão inicial e tratada.

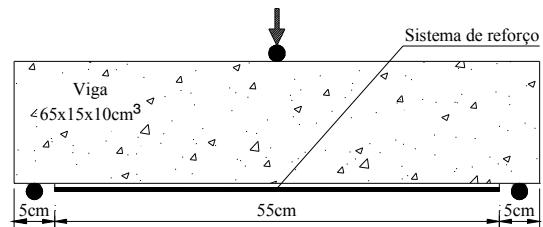


Figura 3: Localização do reforço na viga.

2.4 Ensaios finais

Decorridos os 50 ciclos [7] de exposição térmica, as vigas foram ensaiadas à flexão (Figura 4). O ensaio efectuou-se com um sistema servo-controlado garantindo uma velocidade a meio vão de 10 $\mu\text{m/s}$ e decorreu à temperatura de exposição máxima sendo para isso assegurado que após retirar as vigas da câmara, o arrefecimento até ao final do ensaio não fosse significativo ($<5^\circ\text{C}$).

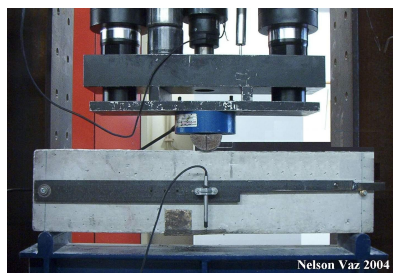


Figura 4: Ensaio de uma viga.

3. RESULTADOS

A avaliação dos ensaios é feita em duas perspectivas, uma relativa aos resultados numéricos e outra alusiva à análise visual do comportamento das vigas durante a degradação e após o teste final.

3.1 Temperatura na cola durante o dia

Também foram medidas as temperaturas presentes na camada de cola durante a exposição solar de uma peça

de betão durante um dia (Figura 5). As leituras foram realizadas através de um sensor colocado muito próximo da face de uma peça de betão. O vento arrefece a superfície e como tal realizaram-se medições num elemento protegido e noutro exposto. Observando as temperaturas durante um dia de Verão medianamente quente e ventoso, pode-se constatar que se atingem temperaturas na superfície do betão muito próximas dos 60°C.

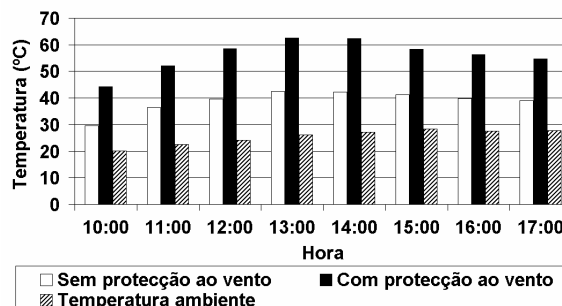


Figura 5: Medição das temperaturas na cola.

3.2 Ensaio de flexão

Nas figuras 6 a 9 estão representadas as curvas médias, representativas dos ensaios para cada uma das exposições térmicas. No gráfico da figura 10, apresenta-se a evolução dos momentos máximos resistentes para as diferentes degradações.

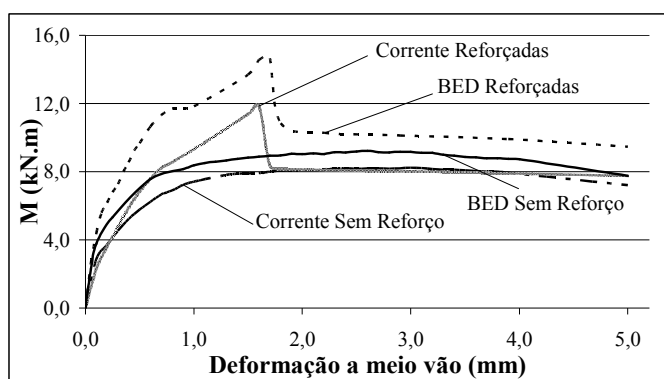


Figura 6: Curvas momento deformaço, T20.

3.3 Interpretação de resultados

Como era esperado, o aumento da agressividade térmica implica uma diminuição da eficiência do reforço. Quando se ultrapassou a temperatura de transição vítrea da cola, isto é, com as exposições T60 e T80, começaram a verificar-se descolagens.

Por observação das curvas momento x deformaço verifica-se que com o aumento da temperatura envolvente, o comportamento das vigas reforçadas tende a ir de encontro ao das sem reforço. Na série de ensaios sem degradaço e com a exposiço T40, as roturas nas vigas sem reforço deram-se por flexão (Figura 11) e nas vigas com reforço aconteceram devido à delaminaço causada pela rotura do betão de recobrimento (Figura 12). Quando a agressividade da exposiço foi próxima da Tg do adesivo, verificaram-se algumas descolagens nas extremidades do reforço. Nestas situaçoes, a descolagem aconteceu na interface betão cola. Na exposiço mais rigorosa, observaram-se descolagens coesivas completas do reforço dos provetes de BED (Figura 13). No betão corrente os resultados visuais não foram tão perceptíveis.

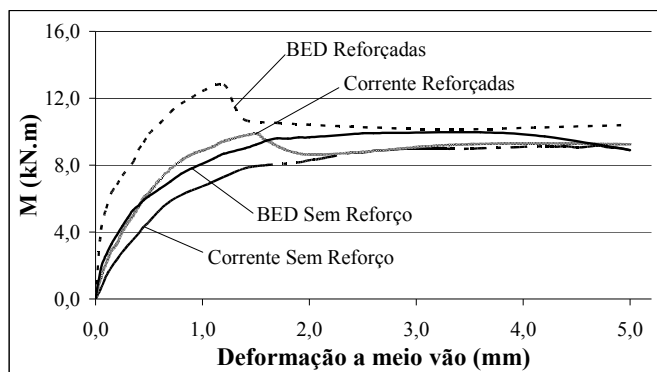


Figura 7: Curvas momento deformação, T40.

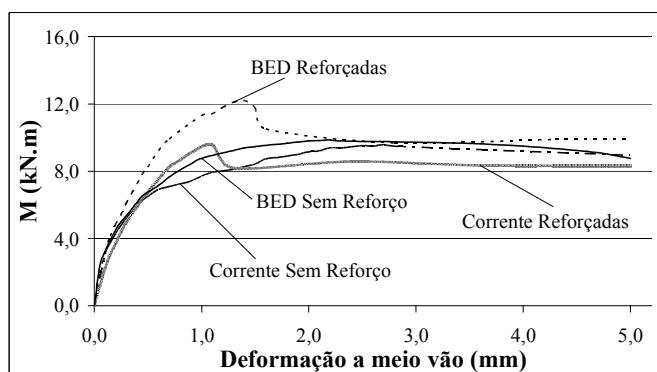


Figura 8: Curvas momento deformação, T60.

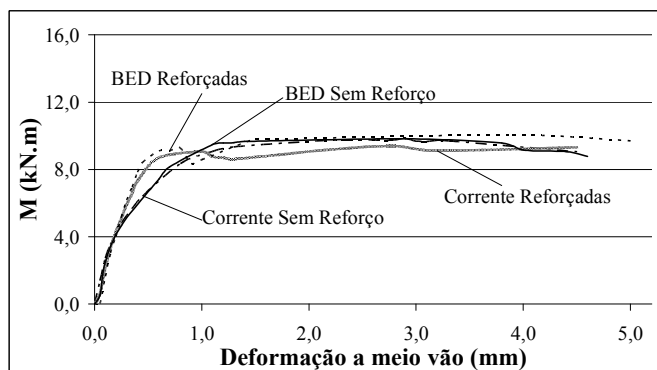


Figura 9: Curvas momento deformação, T80.

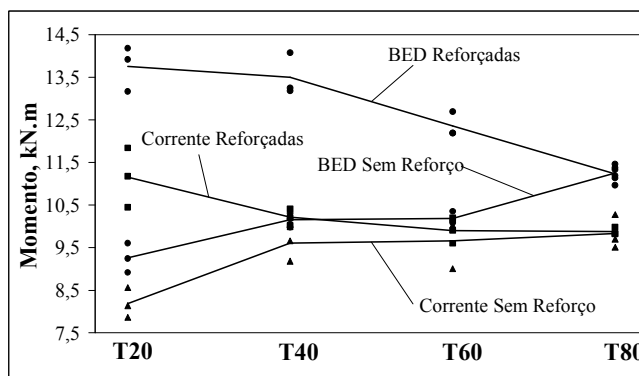


Figura 10: Evolução dos momentos máximos com o aumento da severidade da exposição térmica.



Figura 11: Rotura por flexão



Figura 12: Delaminação.

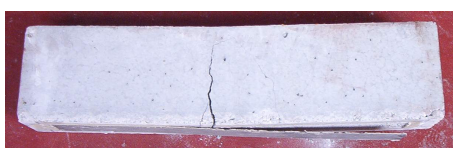


Figura 13: Descolagem do reforço.

4. CONCLUSÕES

Este tipo de reforço sem dúvida alguma que tem inúmeras vantagens. Contudo, quando aplicado num ambiente quente, carece de cuidados especiais. Numa simples exposição solar de uma peça de betão, é possível registar-se temperaturas bastante elevadas e capazes de levantar problemas.

Estes ensaios incidiram apenas perante as acções da temperatura e de carga, mas elas normalmente não actuam sozinhas. Pode, também, existir, em simultâneo, humidade ou o meio ser quimicamente agressivo. Por esta razão, é aconselhável que a cola utilizada possua uma temperatura de transição vítrea 10°C a 20°C superior à temperatura máxima prevista no local, que se prevejam sistemas de protecção e que durante os trabalhos de reforço exista supervisão. Este acompanhamento deve incidir especialmente na avaliação do meio ambiente, na mistura da cola, na preparação das superfícies, aplicação do reforço e condições de secagem.

Apesar das vigas de betão de elevado desempenho manifestarem sempre melhores resultados que as restantes, a colagem de reforços neste género de betão, menos poroso, carece de mais cuidados.

5. AGRADECIMENTOS

Para a realização deste trabalho, foi indispensável a colaboração da Sika Portugal, S.A., da Socitrel Soc. Ind. Trefilaria, S.A. e da Secil – Companhia Geral de Cal e Cimento, S.A.

6. REFERÊNCIAS

- [1] International Federation for Structural Concrete (FIB) - *Externally Bonded FRP Reinforcement for RC Structures*, FIB Bulletin, Lausanne, 2001.
- [2] Beeldens, A. *et al*, - *Aging Factors Affecting Adhesion*; RILEM TC 151, Adhesion Technology: Physical and Chemical Aspects.
- [3] Hutchinson A. *et al*, - *Strengthening of Reinforced Concrete Structures, using externally-bonded FRP composites in structural and civil engineering*, Cambridge, 2000.
- [4] Araújo, C - *Reforço de Vigas de Concreto à Flexão e ao Cisalhamento com Tecidos de Fibra de Carbono*, Dissertação de Doutoramento, Universidade Federal do Rio de Janeiro, 2002.
- [5] American Concrete Institute (ACI) - ACI 50R-93, *Use of Epoxy Compounds with Concrete*, , ACI Committee 503. 1993.
- [6] Vaz N. - *Análise do Comportamento de Reforços Exteriores de Betão Armado Submetidos a Elevadas Temperaturas*, Projecto Individual, Universidade do Minho, 2003.
- [7] European Committee for Standardisation (CEN), EN 13733 - Products and systems for the protection and repair of concrete structures – Test Methods – Determination of the durability of structural bonding agents, 2002.



NELSON L. F. VAZ
Engenheiro Civil
Universidade do Minho
nelson_vaz@civil.uminho.pt



JOSÉ L. B. AGUIAR
Professor Associado
Departamento Eng.^a Civil, UM
aguiar@civil.uminho.pt



JOSÉ L. B. AGUIAR
Professor Auxiliar
Departamento Eng.^a Civil, UM
aires@civil.uminho.pt